

УДК 532.3266.021.3

О МАССООБМЕНЕ В ПЛЕНКЕ ЖИДКОСТИ ПРИ ВОЛНООБРАЗОВАНИИ

**Л. П. ХОЛПАНОВ, В. Я. ШКАДОВ, В. А. МАЛЮСОВ,
Н. М. ЖАВОРОНКОВ**

На электронно-вычислительной машине решено уравнение конвективной диффузии, являющееся теоретической основой процесса массообмена при волнообразовании. Рассмотрены два механизма массообмена: полное перемешивание жидкости по длине волны и непрерывный рост диффузионного потока по длине трубки. Для обоих случаев получены теоретические выражения. Результаты сопоставления теории с опытом дают возможность утверждать, что при пленочном массообмене имеет место частичное перемешивание жидкости.

Массообмен в тонкой пленке жидкости изучался в ряде работ [4—7]. Представляет интерес теоретическое исследование волнового течения тонких слоев пленок, проведенное в работе [8]. Как следует из этой работы, при волновом течении жидкости в седловине волн скорость некоторых слоев принимает отрицательное значение. На основании этого было сделано предположение, что в седловинах волн существуют вихри, периодически повторяющиеся по длине трубки [9]. Естественно, что эти вихри приводят к перемешиванию жидкости. Тогда плотность диффузионного потока будет меняться как по длине волны, так и по длине трубки.

Если предположить, что в седловинах волн имеет место полное перемешивание раствора, то механизм переноса вещества при волновом режиме можно представить в виде следующей модели. От некоторой точки в седловине волны с концентрацией c_p на межфазной поверхности начинается развиваться диффузионный слой. Под диффузионным слоем будем понимать то расстояние от поверхности раздела фаз, на котором концентрация распределяемого вещества отличается на 1% от концентрации в ядре потока. По толщине пленки концентрация распределяемого вещества на некотором начальном участке, равном длине волны, меняется от c_p на межфазной границе до нуля, на границе диффузионного слоя δ . В конце этого участка вследствие существования вихрей происходит полное перемешивание жидкости. В результате этого концентрация распределяемого вещества выравнивается по толщине пленки и становится равной c^1 . Таким образом, концентрация на границе диффузионного слоя меняется от 0 при $x = 0$ до c^1 при $x = \lambda$, где λ — длина волны. На последующем участке, также равном длине волны, опять происходит рост диффузионного слоя, но с той разницей, что концентрация на его границе становится равной c^1 . Поэтому на втором участке необходимо решать задачу с граничными условиями $c = c_p$ на поверхности раздела и $c = c^1$ на границе диффузионного слоя. Решение, полученное с этими граничными условиями, качественно не изменится от решения, найденного на первом участке. Однако количество вещества, перешедшего из газа в жидкость на втором участке, будет несколько мень-

ше, чем на первом, за счет уменьшения движущей силы процесса, т. е. $\Delta c = c_p - 0 > c_p - c^1$.

Количество вещества Q , перешедшего из газовой фазы в жидкую на длине волны, равно

$$Q = \beta_{\text{ж}} \Delta c \pi d \int_0^{\lambda} ds, \quad (1)$$

где $\beta_{\text{ж}}$ — коэффициент массоотдачи, d — диаметр трубки, ds — элемент поверхности. С другой стороны, это количество вещества будет

$$Q = \pi d \int_0^{\lambda} j_{\lambda} ds, \quad (2)$$

где j_{λ} — плотность диффузионного потока на длине волны. Откуда

$$\beta_{\text{ж}} = \frac{\int_0^{\lambda} j_{\lambda} ds}{\Delta c \int_0^{\lambda} ds}. \quad (3)$$

Таким образом, в случае полного перемешивания в седловинах волн задача сводится к определению величины диффузионного слоя на расстоянии вдоль поверхности массообмена, равном первой длине волны. Эту величину определим из решения уравнения конвективной диффузии

$$\frac{\partial c}{\partial t} + v_x \frac{\partial c}{\partial x} + v_y \frac{\partial c}{\partial y} = D \frac{\partial^2 c}{\partial y^2} \quad (4)$$

с граничными условиями

$$c = c_p \text{ при } y = y_{\text{гр}} = a_0 [1 + \alpha \sin n(x - \omega t)], \quad (5)$$

$$c = 0 \text{ при } y \rightarrow 0 \text{ (вдали от поверхности раздела)}. \quad (6)$$

В уравнении (4) v_x , v_y являются функциями x , y , t . При параболическом распределении скорости в пленке значение v_x равно [9]

$$v_x = 3\bar{v} \left(\frac{y}{a} - \frac{y^2}{2a^2} \right), \quad (7)$$

где

$$\bar{v} = \omega + \frac{v_0 - \omega}{1 + \alpha \sin n(x - \omega t)}, \quad a = a_0 [1 + \alpha \sin n(x - \omega t)],$$

a_0 — средняя толщина пленки, $\omega = v_0 z$ — фазовая скорость, $n = 2\pi/\lambda$ — волновое число, v_0 — средняя скорость жидкости. Если известна компонента скорости v_x , то значение v_y определяется из условия неразрывности

$$v_y = - \int_0^y \frac{dv_x}{dx} dy. \quad (8)$$

При решении уравнения (4) значение составляющих скорости v_x и v_y возьмем на поверхности раздела, т. е. при $y = y_{\text{гр}}$. Это оправдано тем, что процесс переноса осуществляется в диффузионном слое, непосредственно примыкающем к поверхности раздела. Подставляя значения v_x и v_y при $y = y_{\text{гр}}$ в уравнение (4), получим

$$\begin{aligned} \frac{\partial c}{\partial t} + \frac{3}{2} v_0 \left[z + \frac{1-z}{1 + \alpha \sin n(x - \omega t)} \right] \frac{\partial c}{\partial x} + \alpha n a_0 v_0 \cos n(x - \omega t) \times \\ \times \left[0,5z + 1,5 \frac{1-z}{1 + \alpha \sin n(x - \omega t)} \right] \frac{\partial c}{\partial y} = D \frac{\partial^2 c}{\partial y^2}. \end{aligned} \quad (9)$$

Переходя к новым переменным $\eta = y - y_{\text{гр}}$, $\xi = n(x - \omega t)$, $x = x_1$, приведем уравнение (9) к виду

$$(1 + \alpha \sin \xi) \kappa \frac{\partial^2 c}{\partial \eta^2} - \frac{\partial c}{\partial \xi} (d + e \sin \xi) - \frac{\partial c}{\partial x_1} (g + h \sin \xi) = 0, \quad (10)$$

где

$$\kappa = D / v_0 n, \quad e = 0,5 \alpha a, \quad d = 1,5 - z, \quad g = 1,5 / n, \quad h = 1,5 \alpha a / n.$$

Будем искать решение уравнения (10) в виде ряда Фурье

$$c = c_0(\eta, x) + c_{10}(\eta, x) \sin \xi + c_{11}(\eta, x) \cos \xi + c_{20}(\eta, x) \sin 2\xi + c_{21}(\eta, x) \cos 2\xi + \dots \quad (11)$$

Для коэффициентов ряда Фурье с низшей гармоникой получим систему уравнений

$$\left. \begin{aligned} \kappa \ddot{c}_0 + \frac{\kappa \alpha}{2} \ddot{c}_{11} + \frac{e}{2} c_{11} - g \frac{\partial c_0}{\partial x} - \frac{1}{2} h \frac{\partial c_{10}}{\partial x} &= 0, \\ \kappa \alpha \ddot{c}_0 + \kappa \ddot{c}_{10} + d c_{11} - h \frac{\partial c_0}{\partial x} - g \frac{\partial c_{10}}{\partial x} &= 0, \\ \kappa \ddot{c}_{11} - d c_{10} - g \frac{\partial c_{11}}{\partial x} &= 0. \end{aligned} \right\} \quad (12)$$

Решим эту систему методом интегральных соотношений [10]. В этом случае коэффициенты ряда Фурье ищем в виде полиномов

$$\begin{aligned} c_0 &= c_{01} + c_{02} \frac{\eta}{\delta} + c_{03} \frac{\eta^2}{\delta^2} + c_{04} \frac{\eta^3}{\delta^3}, \\ c_{10} &= c_{101} + c_{102} \frac{\eta}{\delta} + c_{103} \frac{\eta^2}{\delta^2} + c_{104} \frac{\eta^3}{\delta^3}, \\ c_{11} &= c_{111} + c_{112} \frac{\eta}{\delta} + c_{113} \frac{\eta^2}{\delta^2} + c_{114} \frac{\eta^3}{\delta^3}, \end{aligned}$$

в которых коэффициенты c_{ij} и δ являются функциями x . Граничные условия (5) и (6) в новых переменных запишутся

$$\left. \begin{aligned} \text{при } \eta = 0 \quad c_0 = c_p \text{ и } c_{10} = c_{11} &= 0, \\ \text{при } \eta = -\delta \quad c_0 = 0 \text{ и } c_{10} = c_{11} &= 0 \end{aligned} \right\} \quad (13)$$

Для гладкости функций c_{ij} потребуем, чтобы $\eta = -\delta$,

$$\partial c_i / \partial \eta = \partial^2 c_i / \partial \eta^2 = 0, \quad \text{где } i = 0, 10, 11.$$

Проинтегрируем каждое уравнение системы (12) по η от 0 до $-\delta$. После несложных преобразований получим систему нелинейных дифференциальных уравнений относительно $\Delta = \delta^2(x)$:

$$\left. \begin{aligned} -3\kappa - \bar{c}_{102} \frac{\kappa \alpha}{\Delta} + \frac{e}{24} \bar{c}_{112} \Delta + \frac{g}{8} \frac{d\Delta}{dx} - \frac{h}{24} \left(\Delta \frac{d\bar{c}_{102}}{dx} + \frac{\bar{c}_{102}}{2} \frac{d\Delta}{dx} \right) &= 0, \\ -3\kappa \alpha - \kappa \bar{c}_{102} + \frac{d}{12} \bar{c}_{112} \Delta + \frac{h}{8} \frac{d\Delta}{dx} - \frac{g}{12} \left(\Delta \frac{d\bar{c}_{102}}{dx} + \frac{\bar{c}_{102}}{2} \frac{d\Delta}{dx} \right) &= 0, \\ -\kappa \bar{c}_{112} - \frac{d\bar{c}_{102} \Delta}{12} - \frac{g}{12} \left(\Delta \frac{d\bar{c}_{112}}{dx} + \frac{\bar{c}_{112}}{2} \frac{d\Delta}{dx} \right) &= 0, \end{aligned} \right\} \quad (14)$$

где $\bar{c}_{102} = c_{102} / c_1$, $\bar{c}_{112} = c_{112} / c_1$. Запишем нелинейную систему уравнений (14) в виде, более удобном для численного интегрирования при помощи

$$\left. \begin{aligned} \frac{d\Delta}{dx} &= F, \\ \frac{d\bar{c}_{112}}{dx} &= -\frac{F}{2\Delta}\bar{c}_{112} + \frac{12}{g\Delta}f_3, \\ \frac{d\bar{c}_{102}}{dx} &= -\frac{F}{\Delta}\left(3\frac{g}{h} + \frac{1}{2}\bar{c}_{102}\right) - \frac{24}{h-\Delta}f_1, \end{aligned} \right\} \quad (15)$$

где

$$F = 8(f_2h - 2f_1g) / (h^2 - 2g^2),$$

$$f_1 = 3\kappa + \bar{c}_{102}\frac{\kappa\alpha}{2} - \frac{e}{24}\Delta\bar{c}_{112},$$

$$f_2 = 3\kappa d + \kappa\bar{c}_{102} - \frac{d}{12}\bar{c}_{112}\Delta,$$

$$f_3 = \kappa\bar{c}_{112} + \frac{d\Delta}{12}\bar{c}_{102}.$$

Начальное условие для $x = 0$, $\Delta = 0$, а для \bar{c}_{112} , \bar{c}_{102} начальные условия находили на основании системы (15) с учетом (13) и того, что при $x = 0$

$\Delta = 0$. Поскольку для системы уравнений (15) имеется неопределенность при $\Delta = 0$, решение начинали со значения $x \neq 0$. Для этого функция Δ , c_{102} , c_{112} разлагали в ряды, причем коэффициенты рядов находили обычным способом. Полученное таким образом решение системы для сравнительно больших амплитуд волн $\alpha < \sqrt{2}/z$, где $z = 1,5 \div 2,4$, представлено на рис. 1. На этом рисунке по оси ординат отложена функция $c(x) = \Delta/\kappa$, а по оси абсцисс — $t = x/\lambda$. Сплошными линиями показаны результаты решения на электронной вычислительной машине. Следует, однако, сказать, что область перемешивания (в седловинах волн) по данным [9] составляет не менее 30% длины волны. Поэтому естественно, что величина диффузионного потока в этой области должна быть постоянной. С некоторым приближением считаем, что в действительности величина Δ/κ в области перемешивания будет изображаться пунктирными линиями. Таким образом, с учетом сказанного выше на длине волны

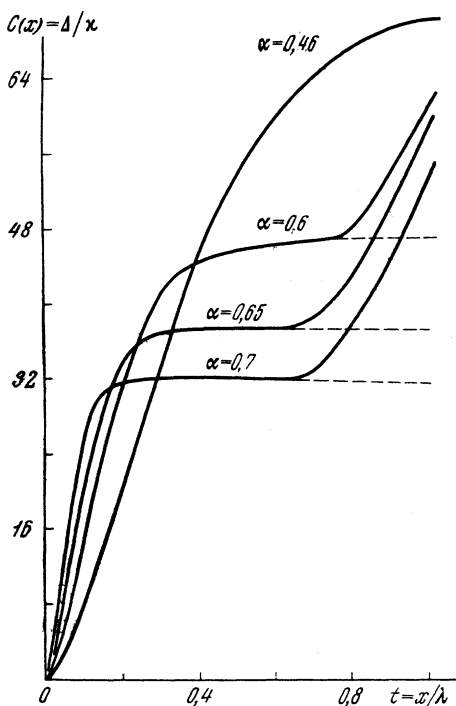


Рис. 1

функция $c(x)$ выходит на величину, не зависящую от x . Эту величину обозначим через $c = c_{\text{стац}}$. С уменьшением амплитуды волн $c_{\text{стац}}$ возрастает примерно по логарифмической зависимости

$$\lg \alpha = -0,7 \lg \frac{\Delta}{\kappa} + 0,91. \quad (16)$$

Величина диффузионного слоя до $c = c_{\text{стац}}$ изменяется по закону, представленному на рис. 2.

Учитывая данные рис. 1 и 2, можно показать, что в пределах длины волны величина диффузионного слоя приблизительно изменяется согласно следующему соотношению:

$$\delta(x) = \sqrt{\kappa} \exp(1,5 - 0,7 \ln \alpha) \left(1 - \exp(-\alpha) \frac{x}{\lambda} \right)^{1/2}, \quad (17)$$

где

$$\left. \begin{aligned} a &= \frac{\alpha - 0,57}{0,01} \cdot 2,3, & 0,6 \leq \alpha, \\ a &= \frac{\alpha - 0,27}{0,097} \cdot 2,3, & 0,6 \geq \alpha. \end{aligned} \right\} \quad (18)$$

Для определения величины плотности диффузионного потока на длине волны запишем

$$\begin{aligned} \frac{j_\lambda}{D} &= \left(\frac{\partial c}{\partial n} \right)_{\eta=0} = \frac{\partial c}{\partial x} \cos(\hat{n} x) + \\ &+ \frac{\partial c}{\partial y} \cos(\hat{n} y) = \frac{\partial c}{\partial y} \cos \theta - \\ &- \frac{\partial c}{\partial x} \sin \theta, \end{aligned}$$

где $\theta = \arctg dy / dx$.

Переходя в выражении для диффузионного потока от переменных x, y к переменным x_1, η, ξ , получим

$$\begin{aligned} \frac{j_\lambda}{D} &= \sin \theta \left(\frac{\partial c}{\partial x_1} - a_0 a n \cos \xi \frac{\partial c}{\partial \eta} + \right. \\ &+ \left. n \frac{\partial c}{\partial \xi} \right) - \frac{\partial c}{\partial \eta} \cos \theta. \quad (19) \end{aligned}$$

Подставляя в формулу (19) вместо производных их значения после усреднения по периоду, получим соотношение

$$\frac{j_\lambda}{\Delta c} = \frac{3D}{\delta(x)} \left[1 - \left(\frac{a_0 a n}{2} \right)^2 \right] \left[1 + \frac{3}{2} (a_0 a n)^2 \right], \quad (20)$$

где $\delta(x)$ дано выражением (17), записанным с учетом (18). Для определения $\beta_{ж}$ подставим в формулу (3) значение $j_\lambda / \Delta c$ и, проинтегрировав по x от 0 до λ , получим

$$\begin{aligned} \beta_{ж} &= 7,5 \sqrt{\frac{Dv_0}{\lambda}} \left[1 + \frac{5}{4} (a_0 a n)^2 \right] \times \\ &\times \exp(0,7 \ln \alpha - 1,5) \left[1 + \frac{\ln(4 - \exp(-\alpha))}{a} \right]. \quad (21) \end{aligned}$$

Во всех случаях величина $\ln(4 - \exp(-\alpha)) / a$ составляет 1—2%, поэтому для простоты расчетов ее не учитывали.

Как отмечалось выше, формула (21) получена при условии существования полного перемешивания в седловинах волн.

Однако, если предположить, что перемешивание раствора отсутствует, а величина диффузионного слоя постепенно растет по всей длине трубки, то зависимость $c(x) = \Delta / \kappa$ от числа волн $t = x / \lambda$, полученная при помощи

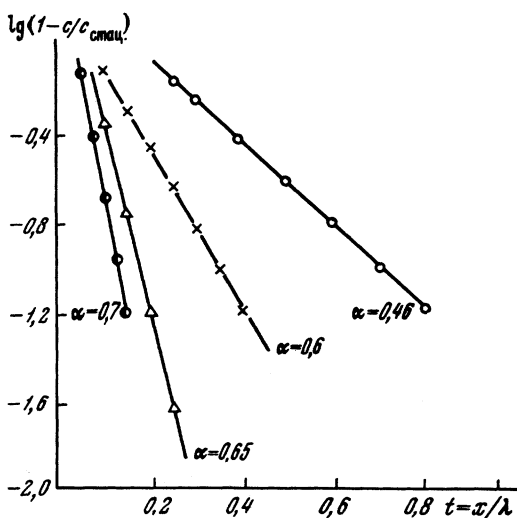


Рис. 2

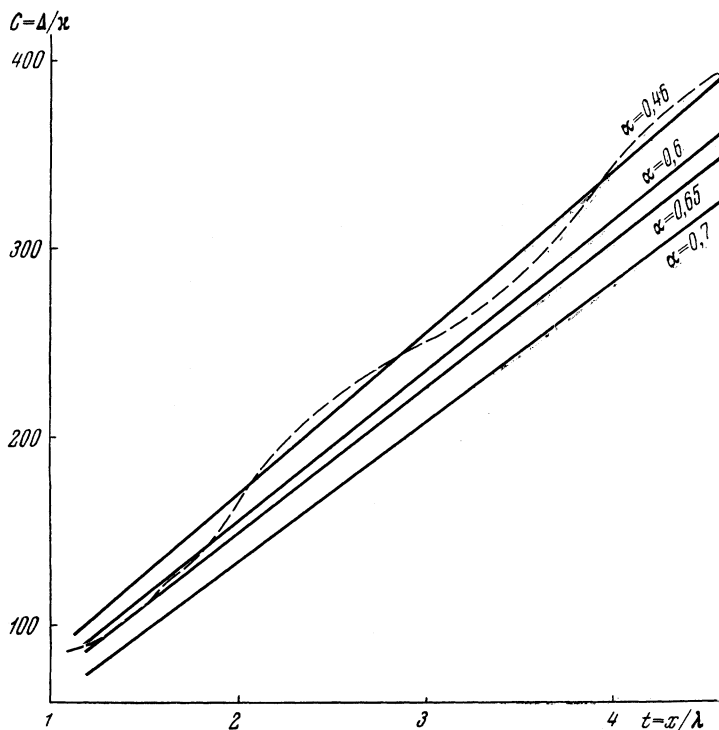


Рис. 3

электронной вычислительной машины, представляется рис. 3. Данная зависимость приближенно описывается формулой

$$c(x) = \frac{\Delta(x)}{\kappa} = \frac{(1,6 - \alpha^2)}{0,017} \frac{x}{\lambda}, \quad (22)$$

откуда величина диффузионного слоя равна

$$\delta(x) = \sqrt{\frac{1,6 - \alpha^2}{0,034\pi}} \sqrt{\frac{Dx}{v_0}}. \quad (23)$$

В этом случае баланс вещества для всей длины трубки можно составить следующим образом:

$$\beta_{\text{ж}} \Delta c \pi d \int_0^l ds = \pi d \int_0^l j_l ds, \quad (24)$$

откуда

$$\beta_{\text{ж}} = \frac{\int_0^l \frac{j_l ds}{\Delta c}}{\int_0^l ds}. \quad (25)$$

Подставляя в эту формулу значение диффузионного потока (20) и учитывая выражение (23), получим

$$\beta_{\text{ж}} = \frac{1,96}{\sqrt{1,6 - \alpha^2}} \left[1 + \frac{5}{4} (a_0 a n)^2 \right] \sqrt{\frac{D v_0}{l}}. \quad (26)$$

Режимы	Re	$a_0 \cdot 10^{-2}$, см	$U_{газа}$, м/сек	λ (по Капи- це) мм	α	d , см	l , м	$\beta_{ж}^*$	$\beta_{ж}^{**}$	$\beta_{ж}^{***}$
Восходящий	20	2,3	21,6	5	0,6	1,66	0,4	0,66	0,145	0,35
То же	50	2,77	21,6	3,8	0,6	1,66	0,4	1,12	0,21	0,68
»	86,8	3	24	2,5	0,6	1,05	0,4	1,60	0,306	0,95
Нисходящий	53	2	17	1,71	0,46	1,66	0,4	1,41	0,1	0,84
То же	95	2,4	17	1,22	0,46	1,66	0,4	2,42	0,139	1,04

* Рассчитано по формуле (21).

** Рассчитано по формуле (26).

*** Рассчитано по экспериментальным данным.

Результаты расчета по формулам (21) и (26) представлены в таблице. Легко заметить, что величины, полученные при расчете по формуле (21) для случая полного перемешивания, только в два раза превышают экспериментальные данные, в то время как расчет по формуле (26) для случая отсутствия перемешивания и непрерывного прорастания диффузионного слоя дает заниженные значения $\beta_{ж}$ по сравнению с экспериментом.

Поэтому можно предполагать, что в процессе течения пленки действительно имеет место частичное перемешивание жидкости в седловинах волн.

ЛИТЕРАТУРА

1. S. Hatta, J. Soc. Chem. Ind. Japan, **35**, 559B (1932).
2. В. В. Вязовов, Ж. техн. физ., **10**, № 18, 1519 (1940).
3. В. В. Вязов, Ж. хим. пром., **17**, № 12, 14 (1940).
4. R. Higbie, Trans. Amer. Inst. Chem Engrs, **31**, 365 (1935).
5. D. W. Yan, Krevelen, P. J. Hofstijzer, Recueil trav. chim., **68**, 221 (1949).
6. М. Е. Позин, Ж. прикл. химии, **20**, 3, 205 (1947); **21**, 1, 58 (1948).
7. В. Г. Левич, Физико-химическая гидродинамика. Физматгиз, М., 1959.
8. П. Л. Капица, Ж. эксперим. и теор. физ., **18**, 3 (1948).
9. S. Portalski, Chem. Engng Sci., **18**, 787 (1963).
10. С. М. Тарг, Основные задачи теории ламинарных течений. Гостехиздат, М., 1951.
11. Б. И. Конобеев, В. А. Малюсов, Н. М. Жаворонков, Хим. пром., № 7, 475 (1961).

Институт общей и неорганической
химии им. Н. С. Курнакова
Академии наук СССР

Поступила в редакцию
20 августа 1966 г.